МИНЕСТЕРСТВО ОБРАЗОВАНИЯ РЕСПУБЛИКИ БЕЛАРУСЬ БЕЛОРУССКИЙ ГОСУДАРСТВЕННЫЙ УНИВЕРСИТЕТ ФАКУЛЬТЕТ ПРИКЛАДНОЙ МАТЕМАТИКИ И ИНФОРМАТИКИ КАФЕДРА МАТЕМАТИЧЕСКОГО МОДЕЛИРОВАНИЯ И АНАЛИЗА ДАННЫХ

Румянцев Андрей Кириллович

"Робастные оценки параметров регрессии при наличии группирования выборки"

Курсовая работа

Допущен к защите	Научный руководитель:	
«» 2017 г	Бодягин Игорь Александрович	
Бодягин Игорь Александрович		

Содержание

1	Введение	2
2	Модель функции регрессии с аномальными наблюдениями и оценки	1
	ее параметров	3
	2.1 Метод Наименьших Квадратов	3
	2.2 М-оценки	4
	2.2.1 Способы выбора функции для решения экстремальной задачи в	
	М-оценках	4
3	Моделирование функции регрессии с аномальными наблюдениями	5
4	Поиск breakdown point у МНК и М-оценок	6
	4.1 Результаты программы	6
5	Построение оценки параметров регресии с помощью группирования	[
	выборки	8
	5.1 Построение функции правдоподобия	8
	5.2 Метод дихотомии	
	5.3 Переклассификация выборки	
Cı	писок Литературы	11

1 Введение

Существует несколько подходов для оценки параметров регрессии, но далеко не все устойчивы к возникновениям аномальных наблюдений. В реальной жизни аномальные наблюдения возникают постоянно, поэтому большинство методов просто неприменимо. В прошлом веке в работах Хьюбера была заложена теория робастного оценивания. Были предложены следующие робастные оценки[1]:

- М-Оценки
- R-Оценки
- L-Оценки

М-оценки — некоторое подобие оценок максимального правдоподобия (ММП-оценки - частный случай), L-оценки строятся на основе линейных комбинаций порядковых статистик, R-оценки — на основе ранговых статистик. В данном курсовом проекте я буду моделировать функцию регрессии с аномальными наблюдениями, анализировать точность методов и находить для разных методов так называемый "breakdown point"— процент аномальных наблюдений, при котором увеличение количества наблюдений не повысит точность методов.

2 Модель функции регрессии с аномальными наблюдениями и оценки ее параметров

Введем линейную регрессию:

$$y_{i} = \beta_{0} + \beta_{1}x_{i1} + \beta_{2}x_{i2} + \dots + \beta_{n}x_{in} + \epsilon_{i}, i = \overline{1, N}$$

$$y_{i} = f(x_{i}, \beta) + \epsilon_{i},$$

$$f(x_{i}, \beta) = \beta_{0} + \beta_{1}x_{i1} + \beta_{2}x_{i2} + \dots + \beta_{n}x_{in}$$
(1)

Или, в векторной форме:

$$y_{i} = \begin{pmatrix} \beta_{0} \\ \beta_{1} \\ \dots \\ \beta_{n} \end{pmatrix} \times \begin{pmatrix} 1 \\ x_{i1} \\ \dots \\ x_{in} \end{pmatrix}^{T} + \epsilon_{i}, \tag{2}$$

где $y_i - i$ -е наблюдение из N наблюдений (N-объем выборки), $x_i = (x_{i1}, x_{i2}, \dots, x_{in})$ регрессоры, $\{\beta_k, k = \overline{0, n}\}$ - параметры регрессии, а ϵ_i - случайная ошибка i-го эксперемента, распределение которой подчиняется нормальному закону с нулевым ожиданием и дисперсией σ^2 .

В нашей задаче считаем параметры $\{\beta_k, k=\overline{0,n}\}$ неизвестными, их нам и требуется найти.

Но мы будем рассматривать не линейную регрессию, заданную формулами (1)-(2), а линейную регрессию с аномальными наблюдениями вида:

$$y_i^{\widetilde{\epsilon}} = (\xi_i)y_i + (1 - \xi_i)\eta_i, \tag{3}$$

где ξ_i принимает значение, равное 1, с вероятностью $1-\widetilde{\epsilon}$ и значение, равное 0, с вероятностью $\widetilde{\epsilon}$, т.е.:

$$\begin{cases} p(\xi_i = 0) = \widetilde{\epsilon} \\ p(\xi_i = 1) = 1 - \widetilde{\epsilon} \end{cases} , \tag{4}$$

которая называется функцией линейной регрессии с выбросами. η_i -случайная величина из какого-то другого неизвестного нам распределения. Переменную $\tilde{\epsilon}$ будем называть процентом аномальных наблюдений.

Теперь рассмотрим некоторые методы оценки параметров регрессии:

2.1 Метод Наименьших Квадратов

Предлоположим, что случайные ошибки подчиняются нормальному закону распределения вероятностей:

$$L\{\epsilon_i\} = N_1(0, \sigma^2), i = \overline{1, n}$$

$$\tag{5}$$

Строим логарифмическую функцию правдоподобия. В силу (1) и (2) имеем:

$$L\{y_i\} = N_1(f(x_i; \beta), \sigma^2) \tag{6}$$

Логарифмическая функция правдоподобия выглядит так[2]:

$$l(\beta) = \ln \prod_{i=1}^{n} \left(\frac{1}{\sqrt{2\pi}\sigma} e^{-\frac{(y_i - f(x_i;\beta))^2}{2\sigma^2}} \right) = -\frac{1}{2} n \ln 2\pi \sigma^2 - \frac{1}{2\sigma^2} R^2(\beta), \tag{7}$$

$$R^{2}(\beta) = \sum_{i=1}^{n} (\delta y_{i})^{2} = \sum_{i=1}^{n} (y_{i} - f(x_{i}, \beta))^{2} \ge 0$$
 (8)

Тогда оценка максимального правдоподобия из формул (4)-(5) такова:

$$\hat{\beta} = \arg\min_{\beta} R^2(\beta) \tag{9}$$

2.2 М-оценки

Швейцарский статистик П.Хьюбер преложил использовать М-оценки [2], которые являются решениями экстремальных задач вида:

$$\sum_{i=1}^{n} \phi(x_i; \beta) \to \min_{\beta}, \tag{10}$$

где $\phi(\cdot;\beta)$ -некоторая функция, определяющая конкретный тип оценок и их точность. Очевидно, что $\phi(\cdot;\beta) \equiv -\ln p(\cdot;\beta)$ -обычная оценка максимального правдоподобия, построенная по модели без выбросов (1).

Рассмотрим теперь некоторые способы выбора $\phi(\cdot; \beta)$.

2.2.1 Способы выбора функции для решения экстремальной задачи в Моценках

Для начала определим:

$$u_{i} = y_{i}^{\tilde{\epsilon}} - (\beta_{0} + \beta_{1}x_{i1} + \beta_{2}x_{i2} + \dots + \beta_{n}x_{in})$$
(11)

Тогда существует такие методы[3]:

Способы выбора $\phi(\cdot;\beta)$				
Метод	Целевая функция			
Метод	$\phi(\cdot;\beta)_{OLS} = u^2$			
Наименьших				
Квадратов				
Хьюбера	$\phi(\cdot;\beta)_H = \begin{cases} \frac{1}{2}u^2, u \le k, \\ k u - \frac{1}{2}k^2, u > k \end{cases}$			
Биквадратный	$\phi(\cdot;\beta)_{H} = \begin{cases} \frac{1}{2}u^{2}, u \leq k, \\ k u - \frac{1}{2}k^{2}, u > k \end{cases}$ $\phi(\cdot;\beta)_{B} = \begin{cases} \frac{k^{2}}{6}(1 - [1 - (\frac{u}{k})^{2}]^{3}), u \leq k \\ \frac{k^{2}}{6}, u > k \end{cases}$			

3 Моделирование функции регрессии с аномальными наблюдениями

Для начала смоделируем функцию регрессии по методу (3). Для удобства моделируем регрессию с одномерными регрессорами $x_i, i=\overline{1,N}.$ Воспользуемся такими параметрами:

Параметры программы		
Переменная	значение	
Pазмер выборки N	1000	
Процент выбросов $\widetilde{\epsilon}$	10	
Параметры регрессии β	(100,4)	
Регрессоры x_i	$\sim U(-5,5)$	
ϵ_i	$\sim N(0, 16)$	
η_i	$\sim N(100, 100)$	

U(-5,5) - равномерное распределение на отрезке [-5,5]. Получаем такой график:

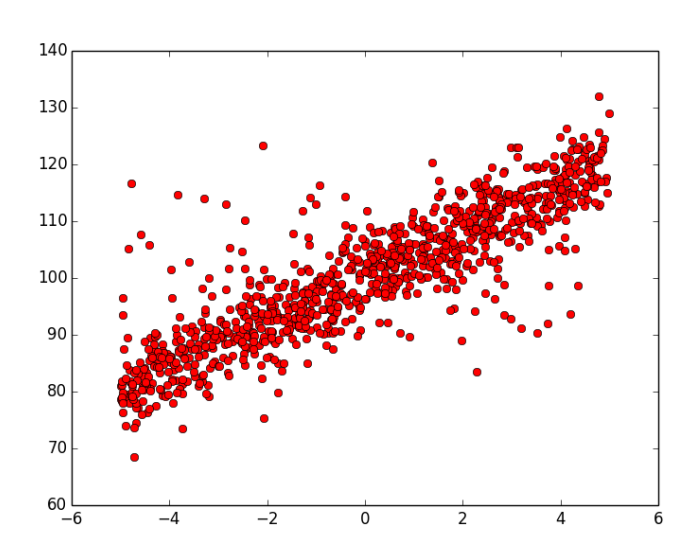


Рис. 1: Вывод графика рассеяния (y_i, x_i)

4 Поиск breakdown point у МНК и М-оценок

Будем пользоваться той же моделью, как и в пункте 3. Для поиска того процента загрязнений, при котором увеличение количества элементов выборки не повышает точности метода будем делать так:

- Организуем цикл по процентам загрязнений $\widetilde{\epsilon}_i$ от $\widetilde{\epsilon}_0=0$ до $\widetilde{\epsilon}_{100}=100$, увеличивая каждый раз $\widetilde{\epsilon}_i$ на 1
- На каждой итерации будем 20 раз моделировать выборку с $N_1 = 1000$ и $N_2 = 3000$ наблюдений. На каждой такой итерации суммируем невязку с точными значениями параметров для каждого количества элементов, а потом находим среднее, поделив на количество суммирования, т.е. посчитаем усредненную невязку:

$$\widetilde{\delta_1^{\widetilde{\epsilon}_i}} = \frac{1}{20} \sum_{k=1}^{20} \left(\sum_{i=0}^n (\beta_i - \beta_{N_1 k i})^2 \right)^{\frac{1}{2}}$$
 (12)

$$\widetilde{\delta_2^{\widetilde{\epsilon}_i}} = \frac{1}{20} \sum_{k=1}^{20} \left(\sum_{i=0}^{n} (\beta_i - \beta_{N_2 k i})^2 \right)^{\frac{1}{2}}$$
(13)

• если полученная усредненная невязка при 1000 наблюдений меньше либо равна невязке при 3000 наблюдений, то заканчиваем цикл - нашли breakdown point, т.е.:

$$br = \left\{ \widetilde{\epsilon_i}, \text{если } \widetilde{\delta_1^{\widetilde{\epsilon_i}}} < \widetilde{\delta_2^{\widetilde{\epsilon_i}}} \right.$$
 (14)

ullet иначе повышаем процент на 1 и повторяем цикл: $\widetilde{\epsilon_{i+1}} = \widetilde{\epsilon_i} + 1$

Такие тесты проведем для МНК и М-оценок.

4.1 Результаты программы

Найденные breakdown point для МНК и М-оценок	
Метод	breakpoint
MHK	10%
М-оценка с функцией Хьюбера	17%

Итак, видим, что М-оценки значительно устойчивее к выбросам чем МНК.

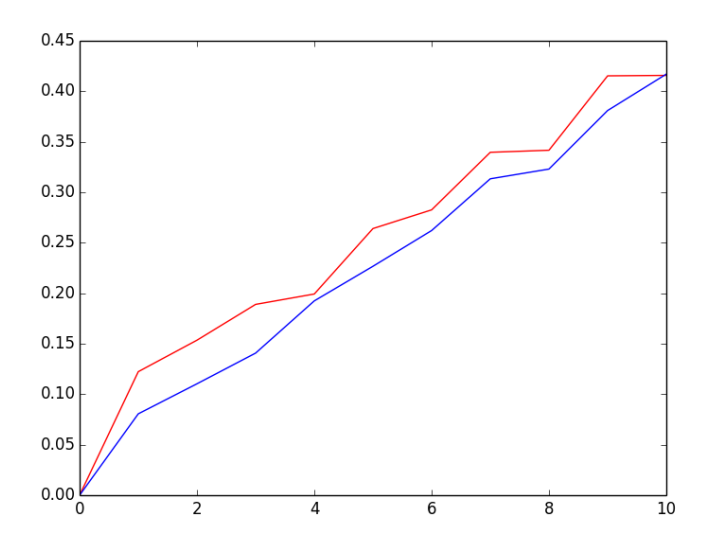


Рис. 2: График, на котором изображены $\widetilde{\delta_1^{\widetilde{\epsilon}_i}}$ красным и $\widetilde{\delta_2^{\widetilde{\epsilon}_i}}$ синим относительно $\widetilde{\epsilon_i}$ в случае МНК

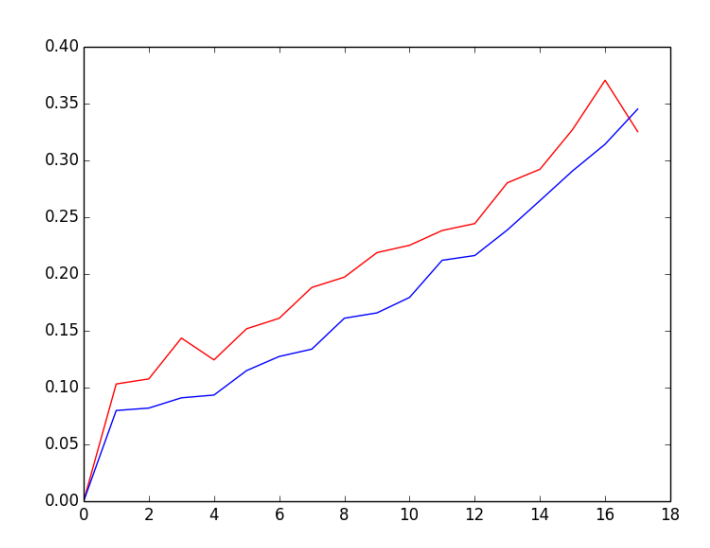


Рис. 3: График, на котором изображены $\widetilde{\delta_1^{\widetilde{\epsilon}_i}}$ красным и $\widetilde{\delta_2^{\widetilde{\epsilon}_i}}$ синим относительно $\widetilde{\epsilon_i}$ в случае М-оценок

Замечания:

- Мы могли бы моделировать не 20 раз, а значительно больше, тем самым мы уменьшаем зависимость результата работы метода он моделируемой выборки.
- Аналогично можно заключить и для размера выборок (отношение моделируемых количеств можно значительно увеличить)

5 Построение оценки параметров регресии с помощью группирования выборки

Будем работать с моделью регрессии (3), предполагая что имеем регрессию без выбросов (1). Каждый y_i принадлежит нормальному распределению:

$$y_i = f(x_i, \beta) + \varepsilon_i \sim \mathcal{N}(f(x_i, \beta), \sigma^2)$$
 (15)

Будем строить оценки таким образом: разделим множество значений функции регресси, т.е множество \mathcal{R} на k полуинтервалов:

$$\mathcal{R} = (-\infty, a_1]U(a_1, a_2]U \dots U(a_{k-1}, +\infty)$$
(16)

Обозначим полученные интервалы: ν_0, \dots, ν_{k-1} .

Тогда:

$$P\{y_{i} \in \nu_{j}\} = \begin{cases} \frac{1}{2} \left(\operatorname{erf}\left(\frac{a_{j+1} - f(x_{i}, \beta)}{\sqrt{2}\sigma^{2}}\right) - \operatorname{erf}\left(\frac{a_{j} - f(x_{i}, \beta)}{\sqrt{2}\sigma^{2}}\right) \right), & j = \overline{1, k - 2} \\ \frac{1}{2} \left(1 + \operatorname{erf}\left(\frac{a_{1} - f(x_{i}, \beta)}{\sqrt{2}\sigma^{2}}\right) \right), & j = 0 \\ \frac{1}{2} \left(1 + \operatorname{erf}\left(\frac{a_{k-1} - f(x_{i}, \beta)}{\sqrt{2}\sigma^{2}}\right) \right), & j = k - 1 \end{cases}$$

$$(17)$$

где

$$\operatorname{erf}(x) = \frac{2}{\sqrt{\pi}} \int_0^x e^{-t^2}$$
 (18)

Тогда для каждого y_i будем иметь полуинтервал, в который он попал μ_i .

$$\mu_i = j$$
, если y_i отнесли к полуинтервалу ν_j (19)

Понятно, что:

$$P(\mu_i = j | y_i \in \nu_i) = P(y_i \in \nu_{u_i})$$
 (20)

5.1 Построение функции правдоподобия

Составим функцию правдоподобия:

$$l(\beta, \sigma^2, \nu_0, \dots, \nu_{k-1}) = \ln(\prod_{i=1}^n P(\mu_i = j | y_i \in \nu_j)) =$$
(21)

$$= \sum_{i=1}^{n} \ln(P(\mu_i = j | y_i \in \nu_j))$$
 (22)

Известно приближение для функции $\operatorname{erf}(x)$:

$$(\operatorname{erf} x)^2 \approx 1 - \exp(-x^2 \frac{\frac{4}{\pi} + ax^2}{1 + ax^2}),$$
 (23)

$$a = \frac{8}{3\pi} \frac{3-\pi}{\pi - 4} \tag{24}$$

Оно считается достаточно точным для x близких к 0 и к ∞ [7]. Найдем сразу производную для этого приближения:

$$\operatorname{erf}'(x) = \exp(-x^2 \frac{\frac{4}{\pi} + ax^2}{1 + ax^2}) \frac{-2x \frac{\frac{4}{\pi} + ax^2}{1 + ax^2} + (2ax^3) \frac{\frac{4}{\pi} + ax^2}{1 + ax^2} - \frac{2ax^3}{1 + ax^2}}{2\sqrt{1 - \exp(-x^2 \frac{\frac{4}{\pi} + ax^2}{1 + ax^2})}}$$
(25)

Будем максимизировать функцию L. Для этого будем искать нули ее производной с помощью вычислительных методов(будем использовать метод дихотомии).

$$\frac{\delta l}{\delta \beta} = \frac{\delta \sum_{i=1}^{n} \ln(P(\mu_i = j | y_i \in \nu_j))}{\delta \beta} = \frac{\delta \sum_{i=1}^{n} \ln P(y_i \in \nu_{\mu_i})}{\delta \beta} = (26)$$

$$= \frac{\delta \sum_{i=1}^{n} \ln(\frac{1}{2}(\operatorname{erf}(\frac{a_{\mu_{i}+1} - f(x_{i},\beta)}{\sqrt{2}\sigma^{2}}) - \operatorname{erf}(\frac{a_{\mu_{i}} - f(x_{i},\beta)}{\sqrt{2}\sigma^{2}})))}{\delta \beta} = (27)$$

$$= \sum_{i=1}^{n} \left(\left(1 - \left(\delta_{\mu_{i}0} + \delta_{\mu_{i}k-1}\right)\right) \frac{\left(\operatorname{erf}'\left(\frac{a_{\mu_{i}+1} - f(x_{i},\beta)}{\sqrt{2}\sigma^{2}}\right) - \operatorname{erf}'\left(\frac{a_{\mu_{i}} - f(x_{i},\beta)}{\sqrt{2}\sigma^{2}}\right)\right)}{\left(\operatorname{erf}\left(\frac{a_{\mu_{i}+1} - f(x_{i},\beta)}{\sqrt{2}\sigma^{2}}\right) - \operatorname{erf}\left(\frac{a_{\mu_{i}} - f(x_{i},\beta)}{\sqrt{2}\sigma^{2}}\right)\right)} + (28)$$

$$+(\delta_{\mu_i 0} + \delta_{\mu_i k-1}) \frac{\operatorname{erf}'(\frac{a_{\mu_i} - f(x_i, \beta)}{\sqrt{2}\sigma^2})}{(1 + \operatorname{erf}(\frac{a_{\mu_i} - f(x_i, \beta)}{\sqrt{2}\sigma^2}))}) (-1) \frac{\delta f(x_i, \beta)}{\delta \beta}) =$$

$$= -\sum_{i=1}^{n} {1 \choose x_{i1} \\ \cdots \\ x_{in}} \times \left((1 - (\delta_{\mu_{i}0} + \delta_{\mu_{i}k-1})) \frac{(\operatorname{erf}'(\frac{a_{\mu_{i}+1} - f(x_{i},\beta)}{\sqrt{2}\sigma^{2}}) - \operatorname{erf}'(\frac{a_{\mu_{i}} - f(x_{i},\beta)}{\sqrt{2}\sigma^{2}}))}{(\operatorname{erf}(\frac{a_{\mu_{i}+1} - f(x_{i},\beta)}{\sqrt{2}\sigma^{2}}) - \operatorname{erf}(\frac{a_{\mu_{i}} - f(x_{i},\beta)}{\sqrt{2}\sigma^{2}}))} + (29)$$

$$+(\delta_{\mu_i 0} + \delta_{\mu_i k-1}) \frac{\operatorname{erf}'(\frac{a_{\mu_i} - f(x_i, \beta)}{\sqrt{2}\sigma^2})}{(1 + \operatorname{erf}(\frac{a_{\mu_i} - f(x_i, \beta)}{\sqrt{2}\sigma^2}))}),$$

где δ_{ij} - символ Кронекера.

Итак, выражение (29) и будем использовать для метода дихотомии, приближая $\operatorname{erf}'(x)$ с помощью выражения (25).

5.2 Метод дихотомии

пусть мы нашли две точки $\beta_{(0)}$ и $\beta_{(1)},$ что:

$$\frac{\delta l(\beta_{(0)})}{\delta \beta} \frac{\delta l(\beta_{(1)})}{\delta \beta} < 0 \tag{30}$$

Найдем середину отрезка:

$$\beta_{(3)} = \frac{\beta_{(0)} + \beta_{(1)}}{2} \tag{31}$$

Из двух границ текущего отрезка выберем ту, для которой выполняется:

$$\frac{\delta l(\beta_{(3)})}{\delta \beta} \frac{\delta l(\beta_{(\text{гран})})}{\delta \beta} < 0 \tag{32}$$

Далее таким же образом будет находить следующие приближения $\beta_{(3)}, \ldots, \beta_{(k)}$ Будем искать корень β_k с точностью ψ . Тогда описанную процедуру будем выполнять до тех пор, пока:

$$\beta_k - \beta_{k-1} < 2\psi \tag{33}$$

Описанный метод всегда сходится для любых функций, в том числе недифференцируемых; при этом дихотомия устойчива к ошибкам округления. Скорость сходимости невелика, но точность ответа гарантируется.[8]. Правда, теперь нужно точно задать, в каком отрезке лежат корни $\beta_{(k)} \in [a,b]$. В таком случае зададим:

$$\beta_{(0)} = a,$$
$$\beta_{(1)} = b$$

Теперь имеем нули производной функции l, а также ее значения на границе отрезка [a,b]. Переберем эти значения и таким образом найдем значение вектора $\hat{\beta}$, где она достигает своего максимального значения.

5.3 Переклассификация выборки

На данном этапе для каждого x_i , значение функции регрессии $y_i^{\tilde{\epsilon}}$ и класс μ_i : $(x_i, y_i^{\tilde{\epsilon}}, \mu_i)$. Теперь попытаемся переклассифицировать выборку. Для этом будем строить новую выборку такого же объема N. Будем идти по каждому элементу $(x_i, y_i^{\tilde{\epsilon}}, \mu_i)$ выборки и для этого наблюдения построим новое:

$$(x_i, y_i^{\tilde{\epsilon}}, \check{\mu}_i), \tag{34}$$

где $\check{\mu}_i$ максимально встречающийся класс близлежайших соседей:

$$\check{\mu}_i = \arg\max_j \sum_{|x_k - x_i| \le \Delta, \ k \ne i} \delta_{\check{\mu}_k j}, \tag{35}$$

где Δ параметр, задающий уровень близости. Чем он выше, тем больше используется соседей для коррекции класса нашего наблюдения.

Итак, переклассифицировав выборку, применим к ней функцию правдоподобия из уравнений (21-22), только используя теперь новые классы $\check{\mu}_i$ вместо μ_i . Аналогично пунктам 5.1-5.2 максимизируем ее и найдем новую оценку параметров $\hat{\beta}$.

Список литературы

- [1] Хьюбер Дж П., Робастность в статистике:пер. с англ.. М.:Мир,1984-304с
- [2] Харин Ю.С., Зуев Н.М., Жук Е.Е, Теория вероятностей, математическая и прикладная статистика: учебник Минск: БГУ, 2011.-463с
- [3] John Fox & Sanford Weisberg, Robust Regression, October 8, 2013

- [4] А.В. Омельченко, *Робастное оценивание параметров полиномиальной регрессии второго порядка*, Харьковский национальный университет радиоэлектроники, Украина, 2009
- [5] Özlem Gürünlü Alma, Comparison of Robust Regression Methods in Linear Regression, Int. J. Contemp. Math. Sciences, Vol. 6, 2011, no. 9, 409 421
- [6] Özlem Gürünlü Alma, Comparison of Robust Regression Methods in Linear Regression, Int. J. Contemp. Math. Sciences, Vol. 6, 2011, no. 9, 409 421
- [7] Sergei Winitzki, A handy approximation for the error function and its inverse
- [8] Мандрик П.А., Репников В.И., Фалейчик Б.В., Численные методы